化学镀 Ni-B 镀层提高 NiBrAl 合金表面性能的研究

高荣龙(珠海市玛斯特五金塑胶制品有限公司,广东 珠海 519000)

摘 要:本研究采用化学镀方法在 NiBrAl 合金表面电镀了一层 Ni-B 镀层,研究了化学镀 Ni-B 镀层对 NiBrAl 合金表面性能的影响。扫描电子显微镜和 x 射线衍射的显微结构的研究表明,涂层具有花椰菜状和均匀的簇状结构。经过热处理后, 试样的花椰菜形态得以保留, 形成了大量微晶组成的团簇。说明高温处理可以促进纳米晶的生长,涂层的无定形结构变成了晶型结构。另外, 化学镀 Ni-B 后, 基体的表面硬度从 410 维氏硬度上升到 788 维氏硬度,提高了 92%。磨损表面的微观研究表明, 化学镀 Ni-B 和热处理可以提高基体的耐磨性。通过极化试验对其耐蚀性进行评价,结果表明, Ni-B 化学镀层提高了基体的耐蚀性。热处理虽然提高了试样的硬度和耐磨性,但会大大降低试样的耐蚀性。因此,未经热处理的化学镀 Ni-B 镀层是提升 NiBrAl 合金表面性能最佳选择。

关键词: Ni-B 镀层; NiBrAl 合金; 表面性能

由于NiBrAl合金具有许多独特的性能,如高耐磨、高 强度、密度比钢低、低磁导率、耐腐蚀、耐生物污染、氧 化膜表面自修复功能,良好的低温性能等,广泛应用于 商用飞机的起落架衬套轴承、海水泵及其阀门以及海军 和商用船舶的螺旋桨等[1-4]。NiBrAl 合金是一种重要的 合金材料, 其组织和性能在制造过程中可以通过添加合 金元素和后续热处理等工艺加以控制[5-6]。NiBrAl零件 制造商的主要市场和目标是船舶应用。除了上述性能外, 潜艇在静音运行中抑制声音所必需的良好抗阻尼性能、 零件加工的可焊接性、合理的成本以及损坏时易于修复 等特性, 也是其广泛应用于生产军用螺旋桨和动力轴船 舶、商船以及游轮的原因^[7]。NiBrAl 合金的表面有一层 Al₂O₃-CuO₂保护膜,由于其具有较高的硬度和耐腐蚀性, 与基体相比,提高了 NiBrAl 合金的使用寿命。此外, 铜离子在表面的有效性和流动性阻碍了海洋微生物的附 着、定植和生长,具备了良好的抗生物污染的能力[8]。

很多时候,船舶螺旋桨的保护层长期工作时很容易被海水侵蚀,如果有高度的湍流或海水中含有许多磨料颗粒(如沙子),这种损害可能会很更加严重。如果流速温和并且有足够的氧气存在,在大多数情况下,保护膜会自行修复。但如果出现高湍流或持续的湍流,保护膜则无法完成自我修复,局部出现以侵蚀 – 腐蚀现象的形式出现^[9]。在此过程中,由于低压点的湍流形成小气泡,并倾向于迁移到高压区域。这种迁移会对气泡参考点的表面造成损害,最终使保护性氧化膜脱落,在螺旋桨表面形成微裂纹,并将金属颗粒从表面分离,导致基板变形^[10]。

使用比保护层更硬的化学涂层可以降低裂纹扩展速率,涂层可以保护基材和保护氧化膜,提高 NiBrAl 零件的使用寿命。在本研究中,采用 Ni-B 镀层,研究了涂层对 NiBrAl 试样的耐磨损和耐腐蚀性能的影响,以检验涂层的有效性。本研究旨在使用 Ni-B 镀层提高这些合金的耐腐蚀和耐磨性能,以提高其在使用中的效率。

1 实验部分

NiBrAl 铸造合金购买自天津市科密欧化学试剂有限公司,其厚度为5mm,直径为30mm,主要成分组成为:0.02wt%Sn、0.04wt%Si、0.02wt%Pb、9.82wt%Al、1.2wt%Mn、4.26wt%Fe、4.61wt%Ni和1.48wt%Zn。用SiC 1500砂纸对切割试样进行砂磨,打磨后试样在超声波浴中用丙酮清洗,最后将试样放入碳酸钠溶液中除去表面的油污。为了使样品具有活性和敏感性,将样品分别放入含有40mL HCl、10g SnCl₂和100mL H₂O的溶液中浸泡1min,然后分别放入含有30%HCl、20%H₂SO₄和50%H₂O的溶液中进行活化。

活化后,试样在由 20g/L 氯化镍、1g/L 硼氢化钠、56g/L 乙二胺、40g/L 氢氧化钠、0.01mg 氮化铅组成的化学溶液中浸泡 1h,在 750rpm 的磁力搅拌下以 $15 \mu m/h$ 的沉淀速率进行沉淀,温度固定在 $85 \, ^{\circ} \! ^{\circ} \! ^{\circ} \! ^{\circ}$ 申镀后,样品在 $410 \, ^{\circ} \! ^{\circ} \! ^{\circ}$ 的温度下,在 99.999% 纯度的商用氩气气氛下退火 70min。

采用 Philips XL30 扫描电子显微镜(SEM)对涂层和退火试样的形貌进行了观察。用 Philips PW 1730 x 射线衍射仪(XRD)对试样退火前后进行物相分析。对制备的试样在 50g 载荷作用 10s 下的横截面进行显微硬度测试。为了检验试样的耐磨性,在载荷为 5N、匀速 0.12m/s 的进行了条件下磨损试验。采用工作电压为 5kV 的TESCAN Vega 扫描电镜和二次电子法对试样的磨损表面进行了研究。腐蚀试验在 3.5% NaCl 溶液中进行,扫描速度为 1 (mVs)⁻¹,浸泡 3h 后,在 -250~250mV 的电位范围内按室温开路电位比例进行腐蚀试验。

2 结果与讨论

2.1 SEM 分析

图 1 分别为电镀后镀层的 SEM 形貌和 410℃温度下退火 70min 后的形貌。如图 1a 所示,涂层具有花椰菜状和均匀的簇状结构。这种均匀性体现了镀液的精确控制和工艺参数的优化选择,团簇是由许多纳米晶组成,团

簇之间的暗点是孔隙,而孔隙的存在是化学涂层结构的本质。可以看出,镀层与平均厚度为 4.5 μm 的基材有着极好的附着力。由于没有外部流动,在基材上形成了完美均匀的化学涂层。红外发射扫描电镜(FESEM)测试结果表明,涂层中 B 含量为 6.50%, Ni 含量为 93.50%。

热处理是影响化学镀层硬度的最关键因素,通常用于提高化学镀层的硬度和耐磨性。在图 1b 中, SEM 图像显示了试样在 410℃温度下退火 70min 后的形貌。可以看到,经过热处理和簇生长后,试样的花椰菜形态得以保留,同时形成了大量微晶组成的团簇。说明高温处理可以促进纳米晶的生长,涂层的无定形结构变成了晶型结构。因此,可以通过提高温度增加晶粒生长速率,从而促进簇的生长。

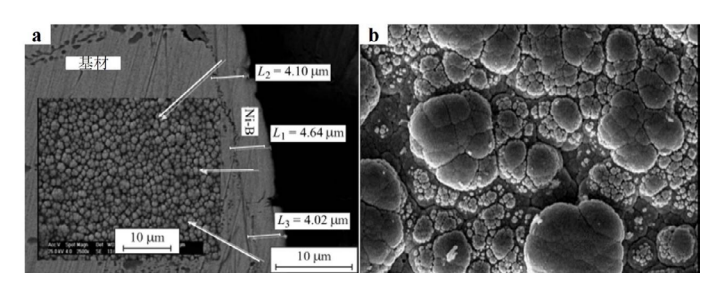


图 1 电镀后镀层的 SEM 形貌 (a) 和 410℃温度下退火 70min 后的形貌 (b)

2.2 硬度分析

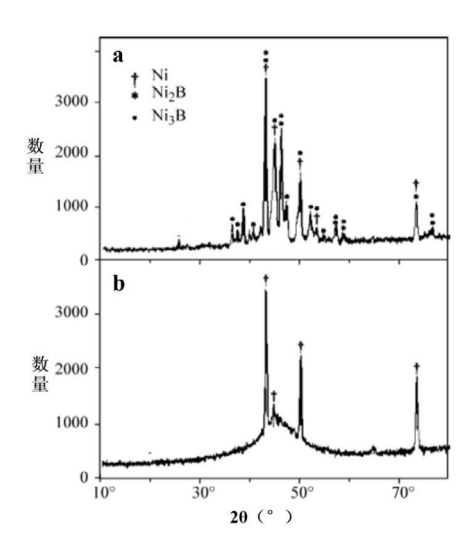


图 2 涂层试样 (a) 与热处理后试样 (b) 的 XRD 谱图 图 2显示了涂层基材 (a) 以及其热处理后 (b) 的 XRD 谱图。化学镀层的晶体结构是半非晶的,即纳米晶镍、非晶镍和硼相的混合物。在化学镀之后,镍和硼在基材上形成非晶或半非晶相。在电镀试样的宽峰中可以看到,这种镀层的结构模式是纳米级的半非晶结构图案。电镀后形成非晶态可能是由于晶格的差异、镍和硼的配位数、这两种元素对彼此的化学键需求以及化学镀过程的低温造成的。在由含磷或硼元素制成的化学镀镍镀层中,这些元素的沉积速率会影响镀层的合金比例和结晶

度。化学镀层的性能取决于合金元素的含量,而镀层的 结晶度也取决于这些元素的含量。

对比涂层试样与热处理后试样的 XRD 分析结果,可以得出中间硼化镍(Ni₂B 和 Ni₃B)相是由于结晶现象形成的。热处理后的试样的峰值表明涂层完全是结晶状的。可以看到,试样形成了与 Ni₂B 和 Ni₃B 相关的峰。在热处理的高温过程中,Ni₂B 相逐步向 Ni₃B 相转变。在热处理过程中,硼从涂层中心转移到涂层表面,导致涂层穿透后结晶度很高,同时,这些沉积物对位错运动起阻碍作用,导致硬化。热处理后,制样的表面硬度从410 维氏硬度上升到 788 维氏硬度,提高了 92%。

2.3 耐磨性研究

NiBrAl 合金基板(未镀层)磨损表面的 SEM 图像 如图 3a 所示。表面产生的深划痕表明试样发生了严重 的磨损, 划痕周围的延伸表明基材也发生了粘着磨损。 由于基体的硬度较低,与耐磨板相比,先是表面在受力 方向上膨胀,然后经过定位加工和塑性变形后,造成摩 擦后的严重磨损。图 3b 显示了 Ni-B 涂层试样磨损表面 的 SEM 图像,可以观察到明显的延伸现象,这是由于 试样的塑性变形和粘附磨损机制, 因此在样品中观察到 少量的划痕,但是磨损程度比图 3a 低,说明 Ni-B 合金 的硬度和耐磨性比 NiBrAl 合金基板高。化学镀 Ni-B 合 金后的制样在410℃下退火处理,同样耐磨测试下的试 样表面 SEM 图像如图 3c 所示。可以看到,摩擦面没有 延伸和塑性变形的迹象, 这是由于试样对在磨损试验期 间施加的机械功存在强的抵抗力,这种摩擦面的强度和 对被磨损的阻力,是由于涂层内部的硼元素向表面迁移 扩散,导致扩散后的 B 阻碍了硼化镍晶体的位错运动, 从而最终提高了耐磨性。

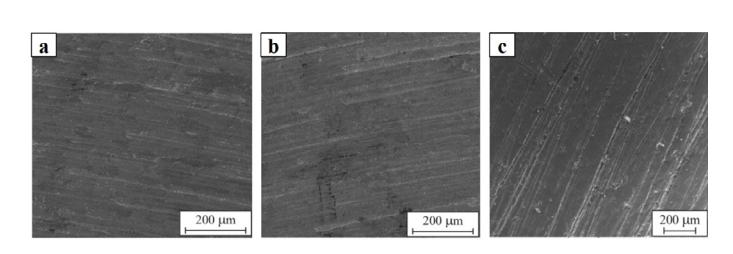


图 3 NiBrAl 合金基板 (a) 、Ni-B 涂层热处理前 (b) 和 Ni-B 涂层热处理后 (c) 的磨损 SEM 图像

2.4 耐蚀性研究

图 4 为试样的电化学极化梯度。从这些梯度可以得到潜在腐蚀值 E_{corr} 、腐蚀电流密度 (i_{cor}/cm^2) 和效率百分比(PI%),如图 4 和表 1 所示。可以看到,电镀工艺将基体的腐蚀电流密度从 $1.53\,\mu$ A/cm² 降低到 $0.267\,\mu$ A/cm²,说明化学镀 Ni-B 镀层可以提高试样的耐蚀性。同时可以看到,热处理使涂层试样的腐蚀电流密度从 $0.267\,\mu$ A/cm² 提高到 $2.47\,\mu$ A/cm²,说明热处理会降低试样的耐蚀性。热处理试样耐蚀性较低的原因可能是由于

镀层金属间化合物转变和晶相转化导致的,金属间化合物充当微阴极区,基底充当微阳极区,随着 B 元素从涂层中心向涂层界面方向扩散的增加,会形成更多的微阴极区,微阴极也微阳极之间形成原电池反应,促进了腐蚀反应的进行。因此,在这些区域会发生更多的腐蚀反应,导致耐蚀性降低。可以得出结论,Ni-B 化学镀层降低了腐蚀电流密度,提高了基体的耐蚀性。此外,Ni-B 涂层的退火虽然提高了试样的硬度和耐磨性,但会大大降低试样的耐蚀性。因此,未经热处理的化学镀 Ni-B 镀层是最佳试样。

表	1	极	12	训训	壯	4±	果
π	1	/1/X	111.	799		石	\mathcal{A}

—————————————————————————————————————								
试样	${ m E_{corr}}$	i _{corr} /cm²	PI%					
基材	-0.332	1.530	_					
Ni-B 镀 层后的基材	-0.335	0.267	82.5					
Ni-B 镀 层后的基材 (退火处理)	-0.353	1.470	3.9					

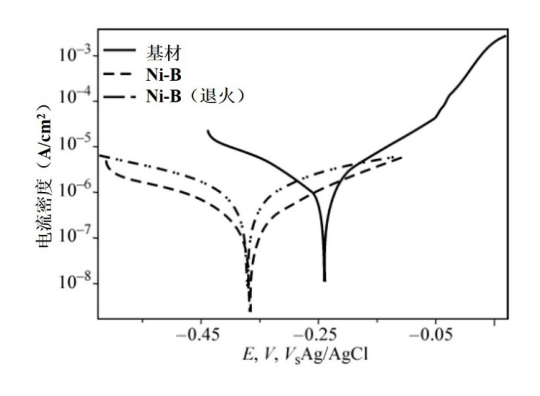


图 4 试样的电化学极化梯度

3 结论

本研究采用化学镀方法在 NiBrAl 合金表面电镀了一层 Ni-B 镀层,研究了化学镀 Ni-B 镀层对 NiBrAl 合金表面性能的影响。

得到以下结论:

①涂层具有花椰菜状和均匀的簇状结构。经过热处理后,试样的花椰菜形态得以保留,形成了大量微晶组成的团簇。说明高温处理可以促进纳米晶的生长,涂层的无定形结构变成了晶型结构。热处理后,镀层式样的表面硬度从 410 维氏硬度上升到 788 维氏硬度,提高了92%;

②磨损表面的微观研究表明,化学镀 Ni-B 和热处理可以提高基体的耐磨性。通过极化试验对其耐蚀性进行评价,结果表明,Ni-B 化学镀层提高了基体的耐蚀性。退火虽然提高了试样的硬度和耐磨性,但会大大降低试样的耐蚀性。

因此,未经热处理的化学镀 Ni-B 镀层是提升 NiBrAl 合金表面性能最佳选择。

参考文献:

- [1] 蔡毅仁, 王旭东, 刘俊珺, 等. 镁合金化学镀 Ni-Cu-P/Ni-P 复合镀层及腐蚀防护机理研究 [J]. 表面技术,2019 (3):1-6.
- [2] 彭加山,张永辉. 汽车冷轧钢板化学镀 Ni-W-P 合金镀层的耐蚀性能研究 [[]. 电镀与精饰,2019,41(5):1-5.
- [3] 高利霞, 陈必清, 何敏, 等. 石墨纤维毡表面化学镀La-Ni-B层的制备及其形貌、物相及耐蚀性能 [J]. 材料保护, 2019(2):1-4.
- [4] 李娜,李超. 汽车用碳锰钢化学镀 Ni-Mo-P 合金镀层性能的研究 []]. 电镀与环保,2020(1):1-3.
- [5] 朱霞, 董俊慧. 低合金铸铁化学镀 Ni-P 合金镀层显微 硬度的研究 []]. 电镀与环保, 2019, 39(4):1-4.
- [6] 黄建娜, 刘松林. 硼氢化钠对滑轮用铸钢板化学镀 Ni-B 合金薄膜性能的影响 [J]. 电镀与环保,2020(2):22-24.
- [7] 任鑫,张雨辰,田佳茹,等.不同方式电沉积 Ni- 纳米 TiC 复合镀层的微观结构与性能 [J]. 复合材料学报, 2021(39):1-10.
- [8] 包翠敏, 陈蕊, 杨智鹏, 等. 压缩机叶轮用不锈钢化学 镀 Ni-W-P 工艺及镀层性能研究 []]. 材料保护, 2020.
- [9] 徐美玲, 亢淑梅, 陈婷婷, 等. 添加氯化铈对镁合金 Ni-P化学镀镀层性能影响[J]. 电镀与精饰,2019,41(1):1-4.
- [10] 黄建娜, 刘松林. 硼氢化钠对滑轮用铸钢板化学镀 Ni-B 合金薄膜性能的影响[J]. 电镀与环保,2020,40(2):1-3

中国化工贸易 2022 年 1 月 -171-